



Figura C.1
Errori di impaginazione, colore e dimensione del carattere a schermo TV (Figura 1.2 nel testo).

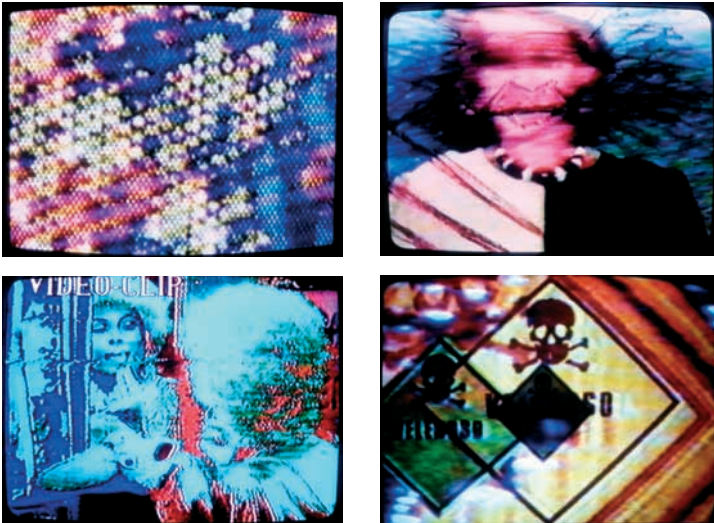


Figura C.2
Opere video di Giacomo Verde realizzate con tecnologie analogiche amatoriali (Figura 1.13 nel testo).

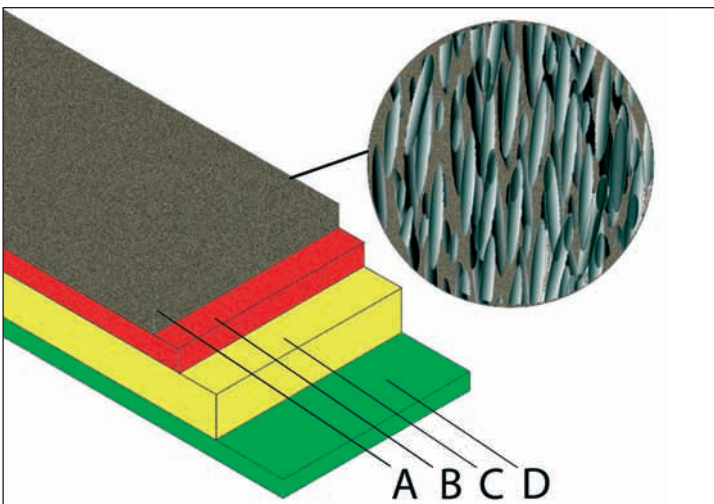


Figura C.3
Strati del nastro magnetico, con ingrandimento simulato delle particelle di ossido.
A – Leganti con particelle di ossido o metallo evaporato.
B – Substrato collante.
C – Supporto poliestere o altro materiale plastico.
D – Back coating layer, strato posteriore antistatico.
Nota: gli spessori raffigurati non sono proporzionali a quelli reali. (Figura 2.4 nel testo).



Figura C. 4 Confronto tra porzioni di fotogramma VHS e S-VHS (Figura 2.27 nel testo).



Figura C. 5 Confronto tra porzioni di fotogramma S-VHS e Digibeta (Figura 3.2 nel testo).



Figura C.6 Dettaglio da fotogrammi M-JPEG e M-PEG2 su foglie in rapido movimento (Figura 3.3 nel testo).



Figura C.7

Confronto di qualità in un dettaglio 155x219 tra S-VCD e DVD (Figura 4.17 nel testo).

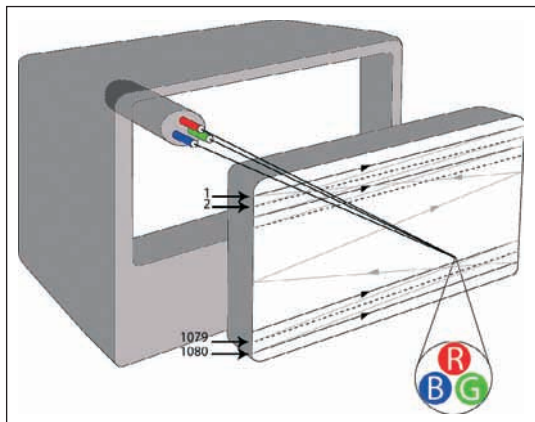


Figura C.8
Schema di scansione del pennello elettronico in un monitor TV a colori CRT (Figura 5.4 nel testo).

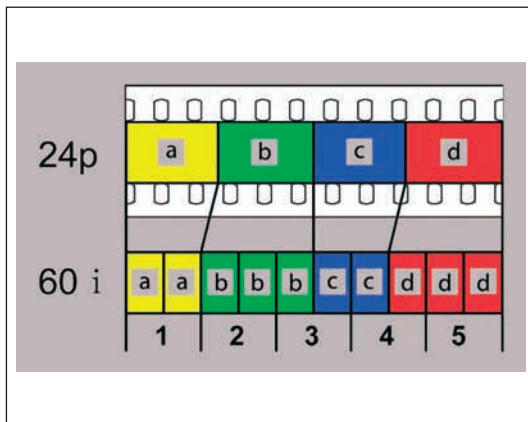


Figura C.9
3:2 pulldown, alternanza tra frame del film e field del video NTSC (Figura 5.5 nel testo).

Figura C.10
HDCAM 1080i dettaglio 537×768
da animazione per CHROMA KEY
(Figura 5.13 nel testo).



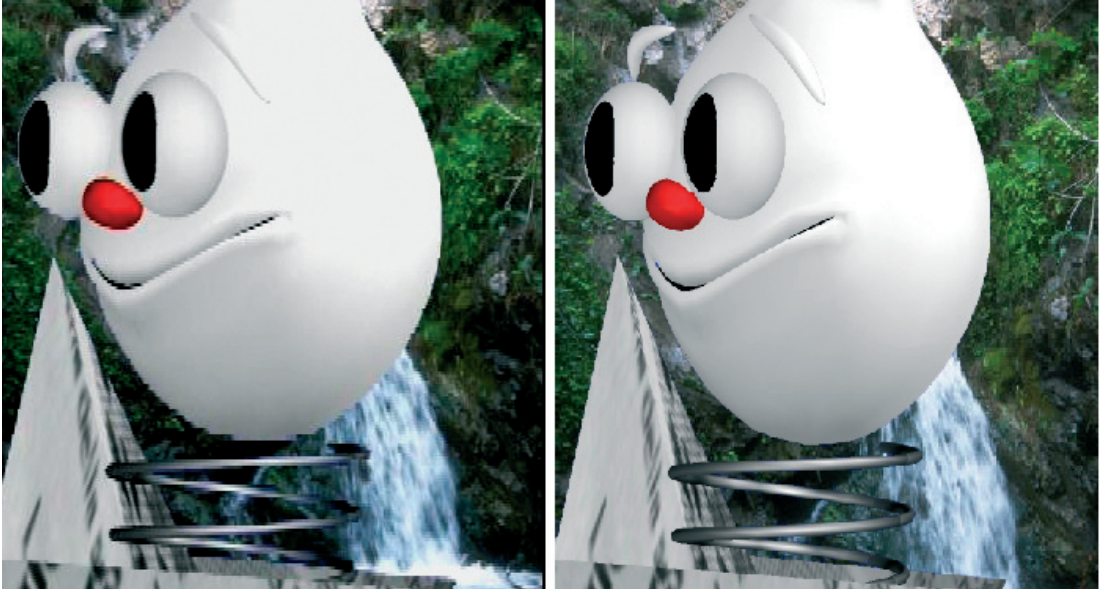


Figura C.11 Confronto dettagli chroma key tra DV CAM e HDCAM (Figura 5.14 nel testo).

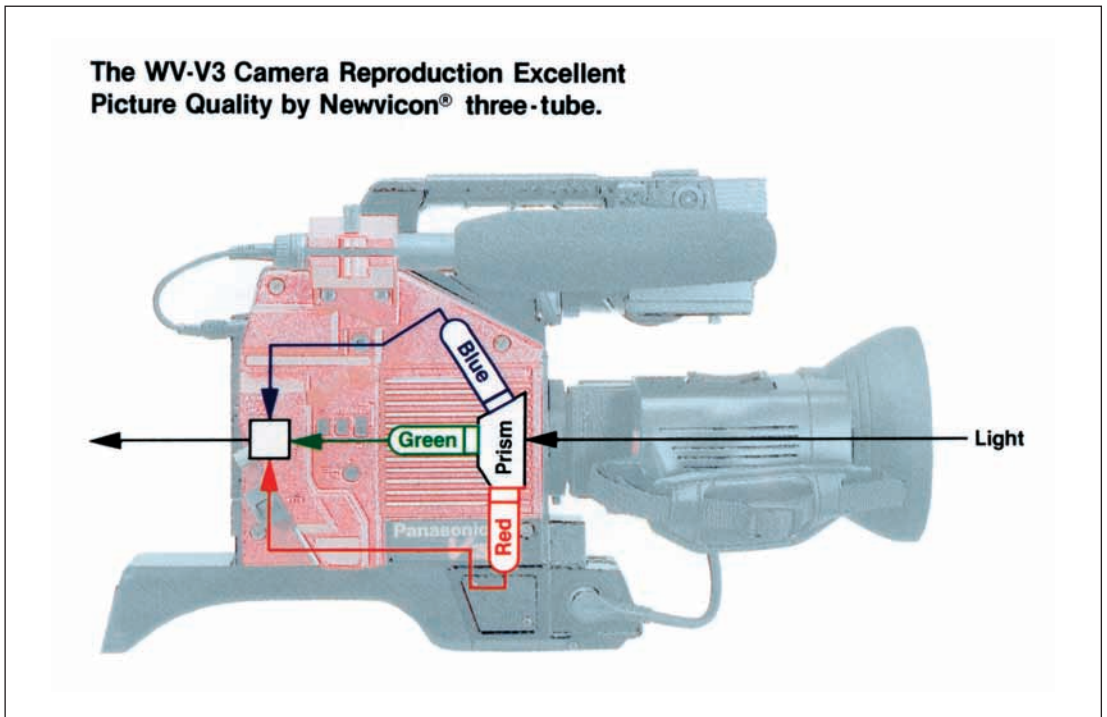


Figura C.12 Disposizione del gruppo dicroico discriminatore RGB e dei tre tubi catodici in una telecamera tritubo (Figura 6.3 nel testo).

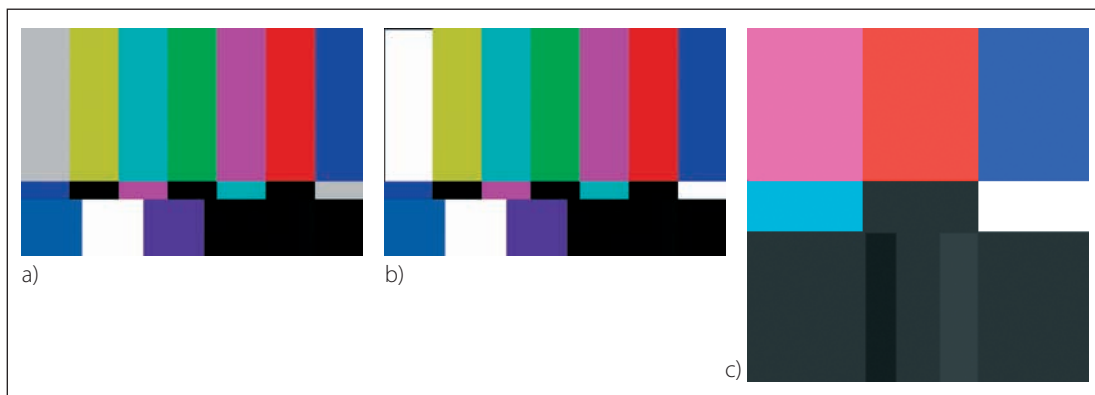


Figura C.13 a) Barre-colore SMPTE 75%. b) Barre-colore SMPTE con barra del bianco 100%. c) Barre-colore dettaglio PLUGE (Figura 6.11 nel testo).

Figura C.14
Barre-colore con livelli IRE
(Figura 6.12 nel testo).

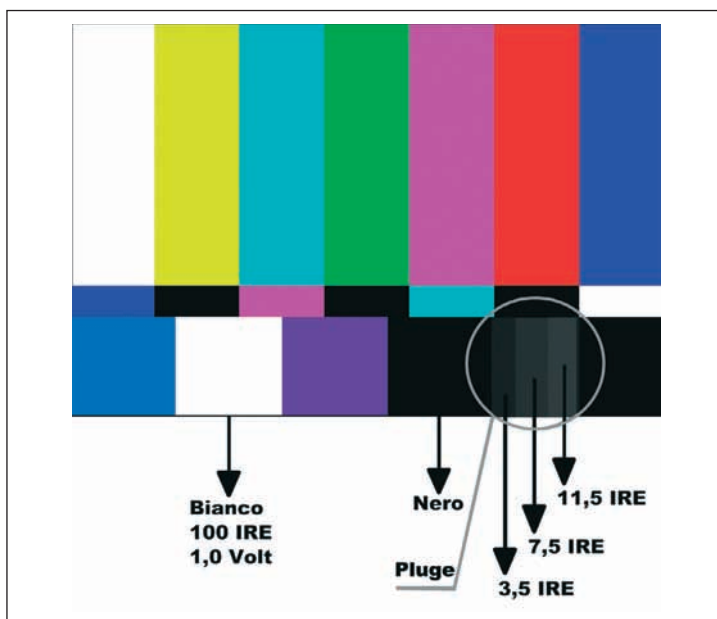
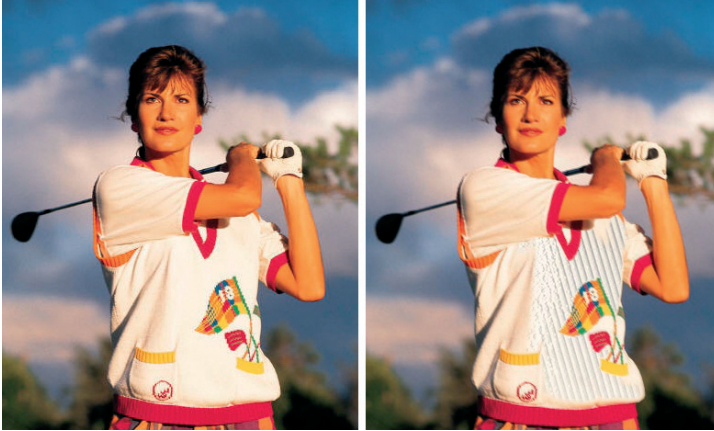


Figura C.15
Barre colore visualizzate nel test
blue only (Figura 6.13 nel testo).

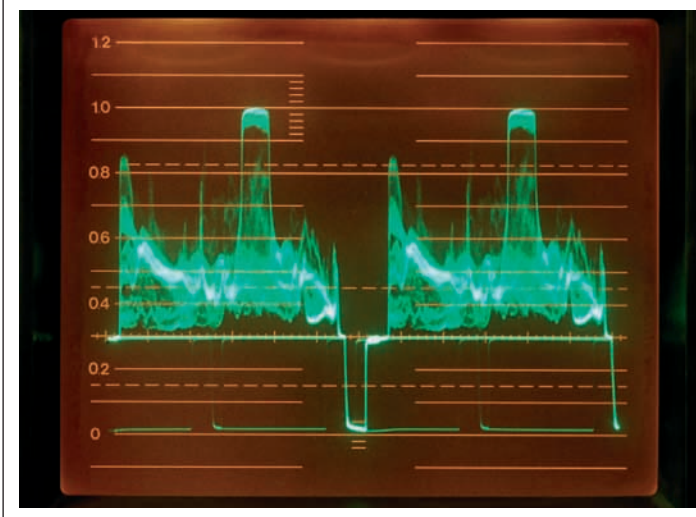


**Figura C.16**

A destra effetto zebra
(Figura 6.14 nel testo).

**Figura C.17**

Immagine video e sua
rappresentazione su oscilloscopio
analogico (Figura 6.16 nel testo).



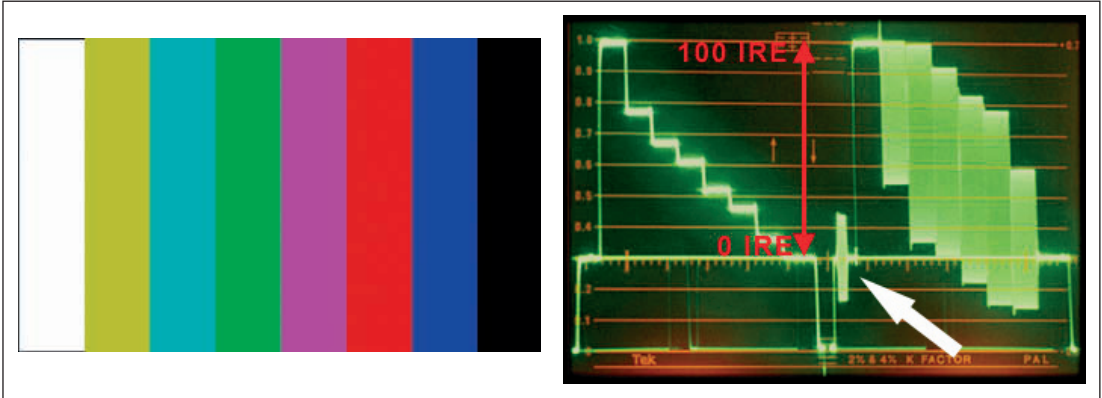


Figura C.18 Barre-colori e rappresentazione su oscilloscopio analogico (Figura 6.17 nel testo).

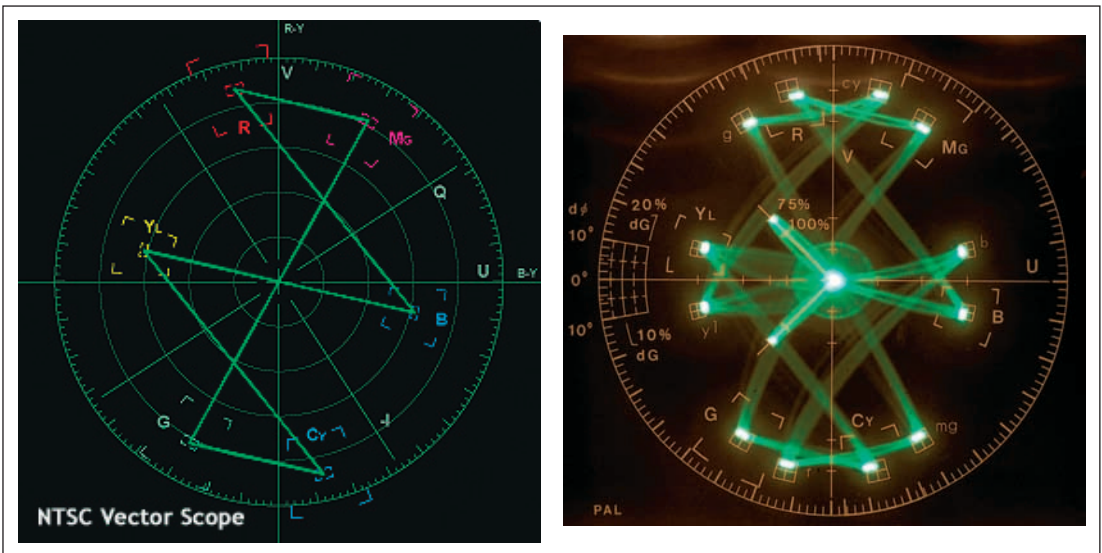
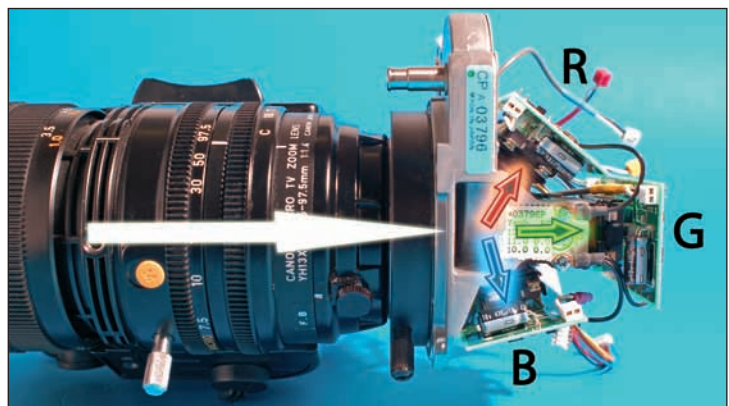


Figura C.19 Rappresentazione su vectorscopio digitale (a sinistra) e analogico (a destra) delle barre-colori della Figura C.18 (Figura 6.19 nel testo).

Figura C.20
Obiettivo e gruppo discriminatore
dicroico RGB su 3 CCD
(Figura 6.22 nel testo).



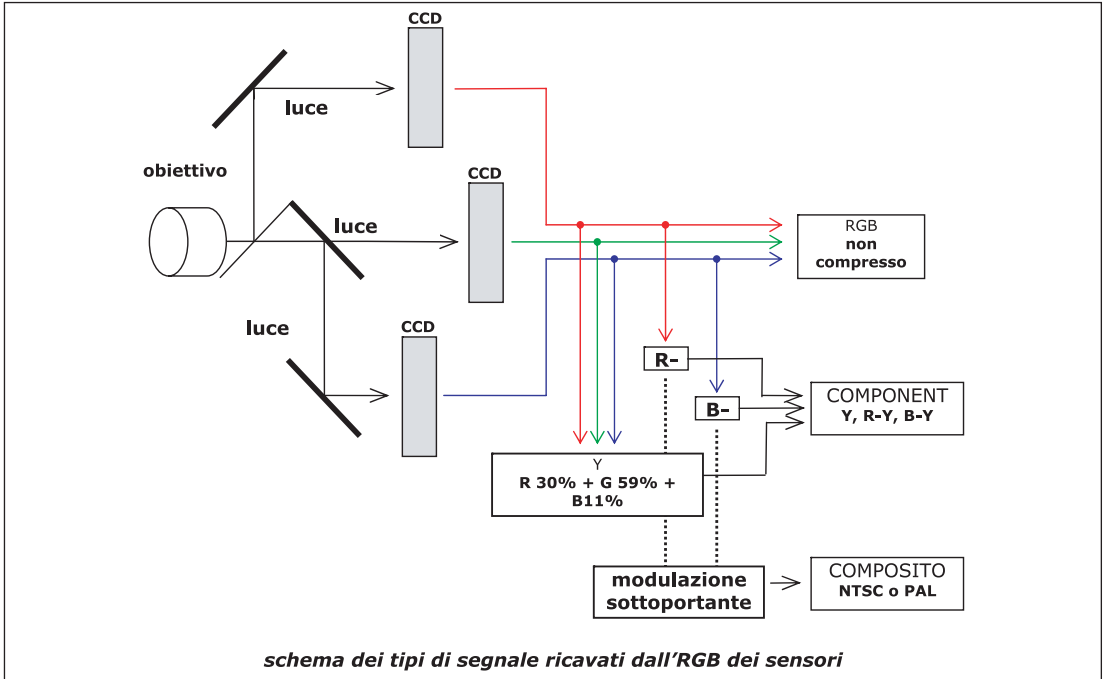


Figura C.21 Segnali video in uscita dai sensori RGB (Figura 6.23 nel testo).



Figura C.22 Generatore di caratteri: aliasing SD a confronto con HD (Figura 6.30 nel testo).

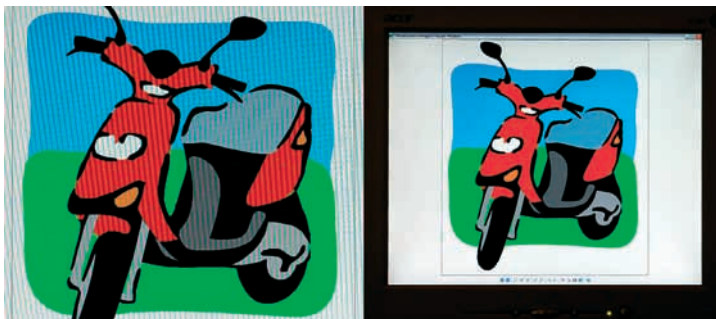


Figura C.23 L'effetto Moiré, in una ripresa a monitor, si riduce cambiando l'ingrandimento del soggetto (Figura 6.31 nel testo).

Figura C.24

Curioso pattern decorativo generato dall'effetto Moiré sui mattoni dell'edificio (Figura 6.32 nel testo).

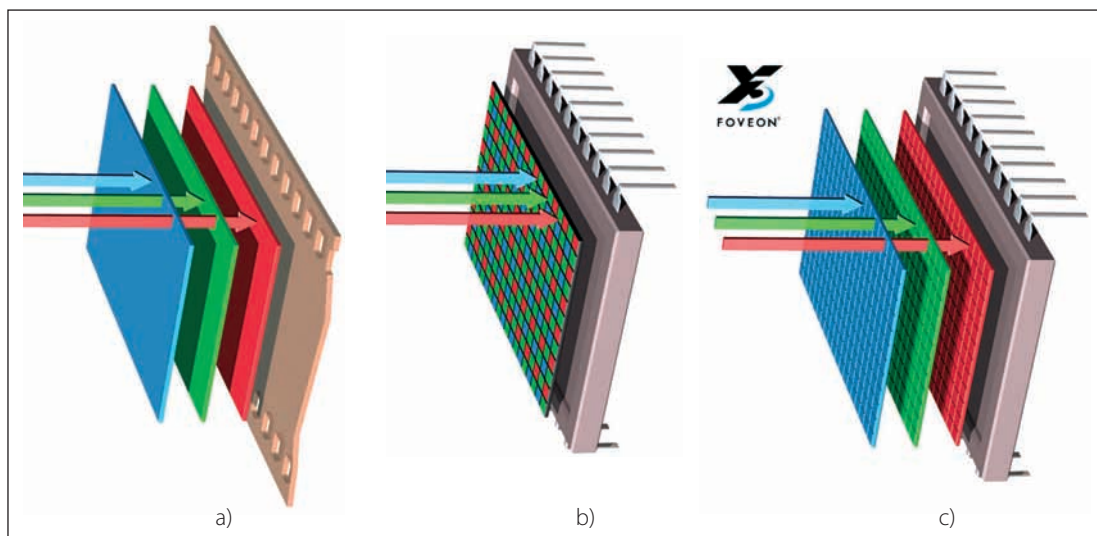
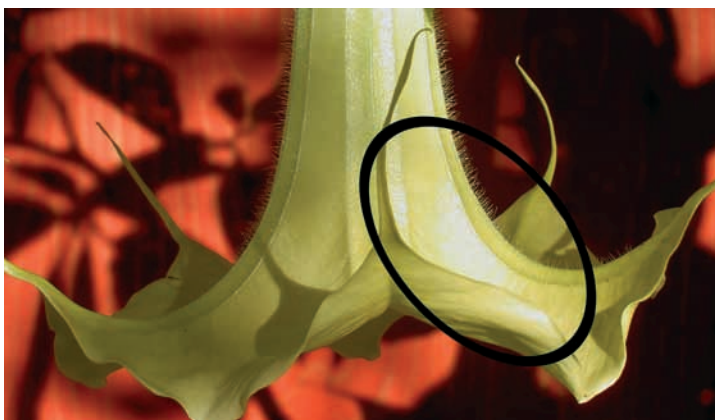


Figura C.25 a) Strati sensibili di una pellicola a colori. b) Discriminatore RGB mono-sensore: per ogni coppia di pixel rossi e blu ci sono due pixel verdi. c) Discriminatore RGB Foveon X3 con sensori a strati sovrapposti, come la pellicola (Figura 6.33 nel testo).

Figura C.26

Limiti di gamma tonale in un sensore CCD (senza correzioni del DSP) (Figura 6.36 nel testo).



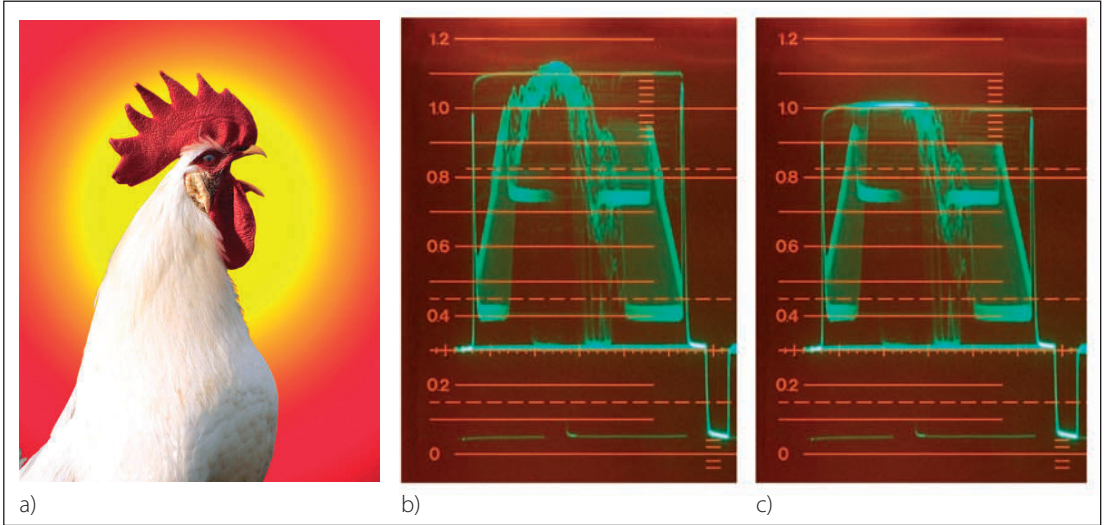


Figura C.27 a) Saturazione del livello del bianco sul piumaggio. b) Confronto: livello bianco 1,13 V come da ripresa, appiattito a 1,02 V dal controllo di white clip (Figura 7.3 e 7.4 nel testo).



Figura C.28
Confronto tra gain 0 dB e +18 dB (Figura 7.15 nel testo).

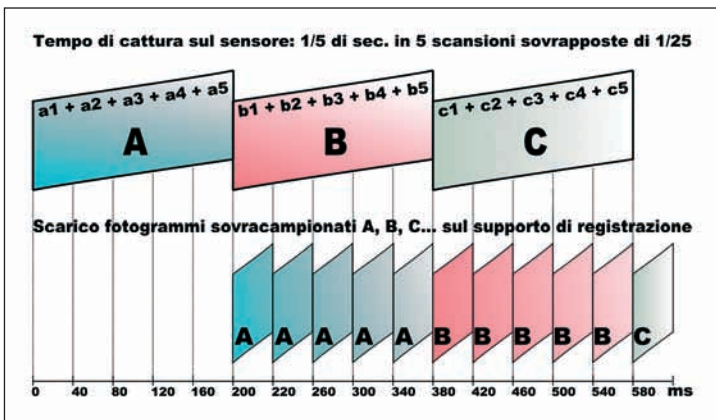


Figura C.29
Slow shutter: schema di funzionamento (Figura 7.16 nel testo).

Figura C.30

Feedback video o effetto larsen a colori (a sinistra), direttamente generato in camera con effetto mirror (a destra); generato da mixer video (Figura 8.15 nel testo).

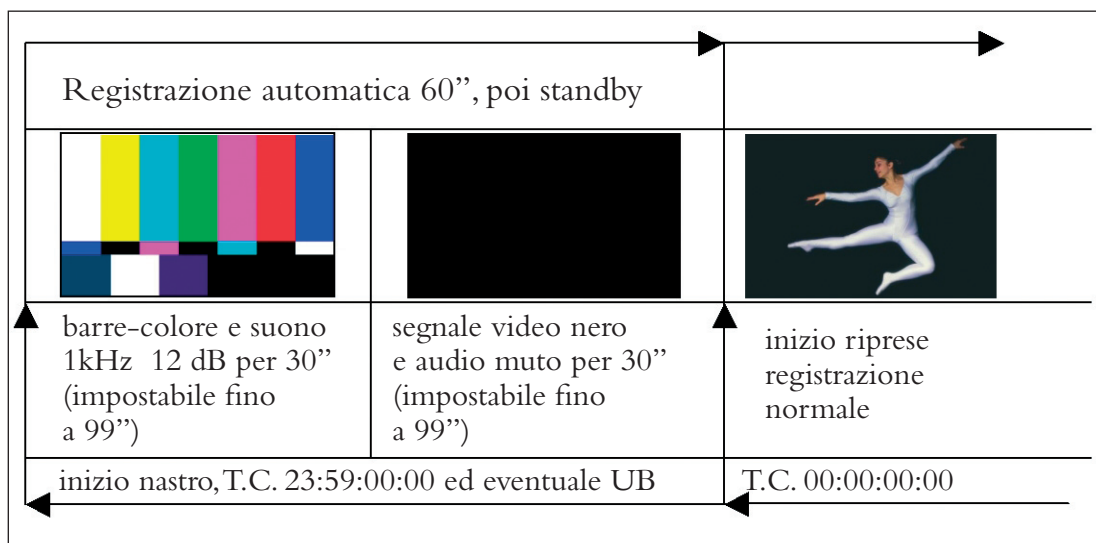
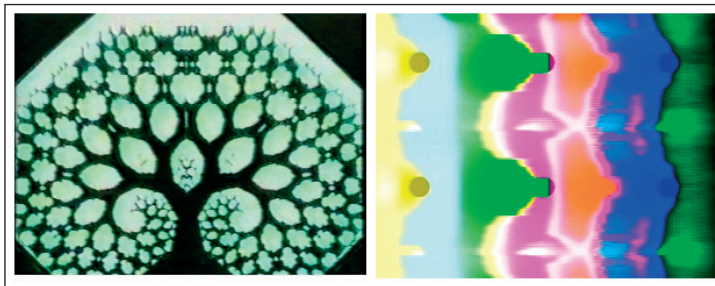


Figura C.31 Header rec, per l'inizializzazione del nastro DV o HDV JVC (Figura 8.30 nel testo).

Figura C.32

Inquadratura con ottiche diverse (Figura 9.11 nel testo).

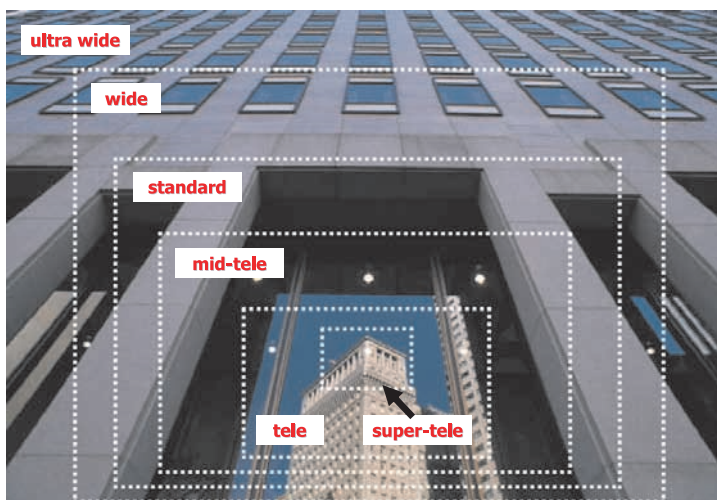




Figura C.33 Deformazione del soggetto con aggiuntivo wide 0,4x + correzione con taglio degli angoli in post-produzione (Figura 9.13 nel testo).



Figura C.34

Catadiottrico Sony 8/500mm e schema ottico generico di ottica a specchio (Figura 9.15 nel testo).

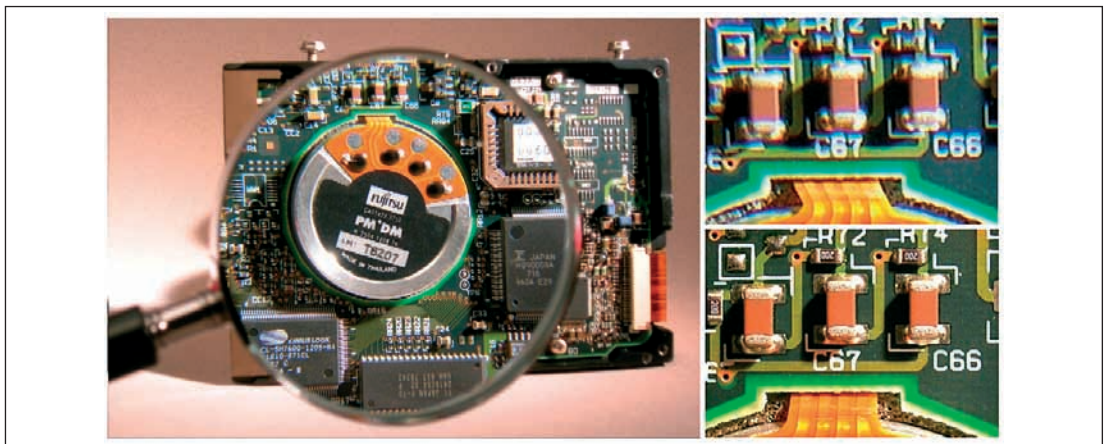


Figura C.35 Confronto di ripresa macro con lente economica e telemacro professionale (Figura 9.18 nel testo).

Figura C.36

Confronto dell'area realmente impegnata in un sensore multi-formato, tra rapporto d'aspetto 4:3 e 16:9, su CCD due terzi di pollice (Figura 9.23 nel testo).

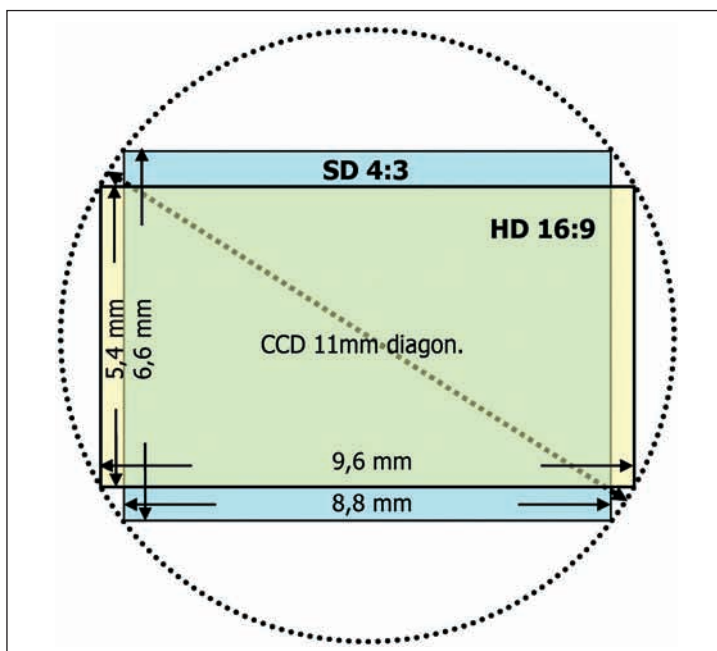


Figura C.37

Confronto tra profondità di campo wide e tele (Figura 9.24 nel testo).



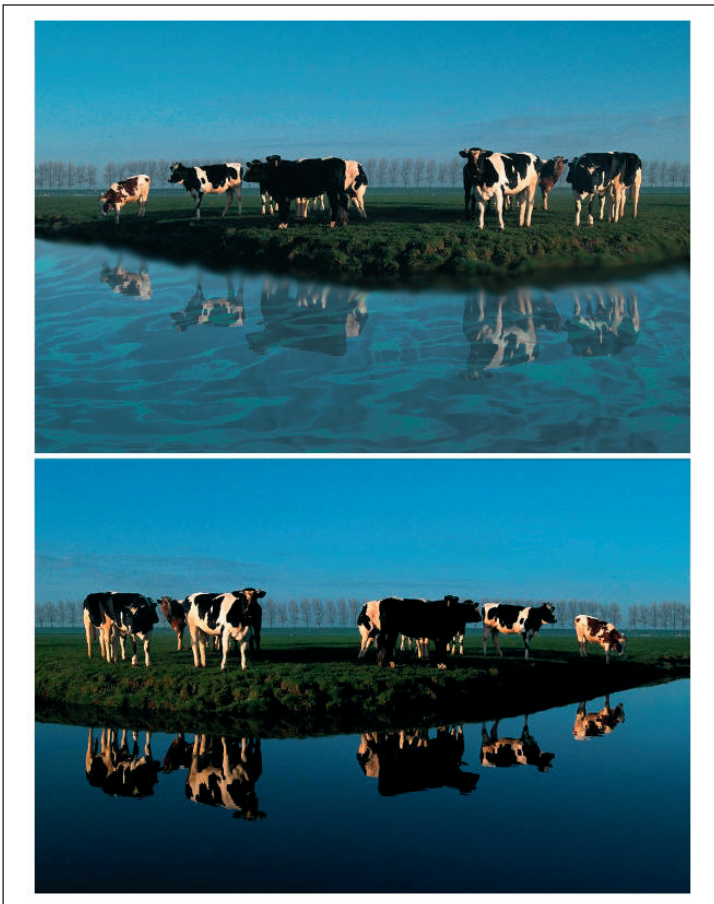
Figura C.38

Interno di laboratorio, massima profondità di campo con obiettivo wide, forte illuminazione dissimulata dal diaframma chiuso (Figura 9.26 nel testo).



**Figura C.39**

Bimbo dietro il vetro dell'auto con polarizzatore diversamente ruotato (Figura 10.3 nel testo).

**Figura C.40**

Polarizzatore circolare, effetto di saturazione ed eliminazione dei riflessi sull'acqua, prima e dopo la rotazione (Figura 10.5 nel testo).

**Figura C.41**

Set di filtri vari (Figura 10.6 nel testo).

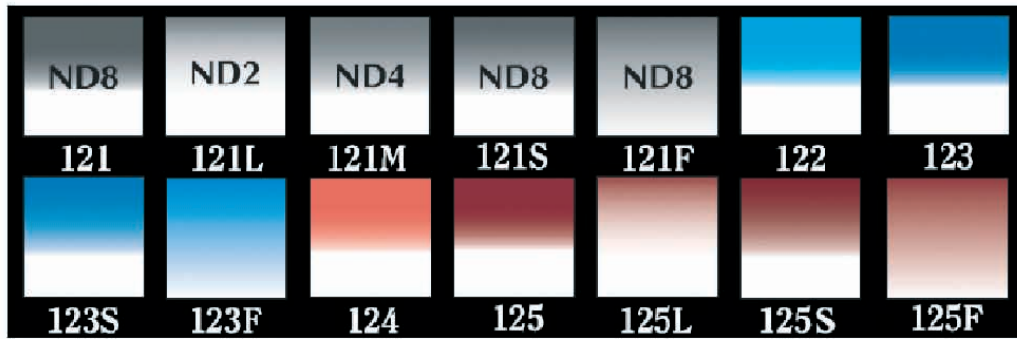


Figura C.42 Cokin gradual filter chart (Figura 10.7 nel testo).